

# Simulação e Controle de um Motor Síncrono de Ímãs Permanentes usando Controle Orientado a Campo

1<sup>st</sup> Felipe Lenschow

*Programa de pós graduação em engenharia elétrica*

*Universidade do Estado de Santa Catarina*

Joinville, Santa Catarina, Brasil

felipe.lenschow@edu.udesc.br

**Abstract**—Este artigo apresenta a modelagem e simulação de um sistema de acionamento de Motor Síncrono de Ímãs Permanentes (PMSM) utilizando Controle Orientado a Campo (FOC). O modelo matemático do PMSM no referencial dq é derivado, e uma estratégia de controle empregando controladores Proporcional-Integral (PI) para regulação de velocidade e corrente é implementada. A simulação é desenvolvida em Python, permitindo uma análise modular e flexível do comportamento dinâmico do motor sob condições variadas de carga e velocidade. Os resultados demonstram a eficácia da estratégia FOC em manter um controle preciso de velocidade e geração eficiente de torque.

**Index Terms**—PMSM, Controle Orientado a Campo, Simulação, Python, Acionamento de Motor

## I. INTRODUÇÃO

Motores Síncronos de Ímãs Permanentes (PMSMs) são amplamente utilizados em aplicações industriais, veículos elétricos e robótica devido à sua alta eficiência, alta densidade de potência e excelente desempenho dinâmico. Para alcançar um controle de alto desempenho, o Controle Orientado a Campo (FOC) é comumente empregado. O FOC permite o controle independente de fluxo e torque transformando as correntes trifásicas do estator para um referencial girante (referencial dq) alinhado com o fluxo do rotor [1].

Este artigo detalha o desenvolvimento de um ambiente de simulação para um sistema de acionamento PMSM. A simulação inclui a física do motor, o inversor de fonte de tensão e o algoritmo FOC. O objetivo é fornecer uma compreensão clara da dinâmica do sistema e validar a estratégia de controle através de simulação numérica.

## II. MODELO DO SISTEMA

### A. Modelo Matemático do BLDC

O modelo dinâmico do motor BLDC pode ser derivado a partir das equações de tensão de fase. Conforme descrito em [2], as tensões nos enrolamentos do estator são definidas por:

$$\begin{bmatrix} v_a \\ v_b \\ v_c \end{bmatrix} = \begin{bmatrix} R_s & 0 & 0 \\ 0 & R_s & 0 \\ 0 & 0 & R_s \end{bmatrix} \begin{bmatrix} i_a \\ i_b \\ i_c \end{bmatrix} + \frac{d}{dt} \begin{bmatrix} \psi_a \\ \psi_b \\ \psi_c \end{bmatrix} \quad (1)$$

onde  $\psi$  representa o fluxo total concatenado em cada enrolamento, dado por:

$$\begin{bmatrix} \psi_a \\ \psi_b \\ \psi_c \end{bmatrix} = \mathbf{L}_{abc} \begin{bmatrix} i_a \\ i_b \\ i_c \end{bmatrix} + \begin{bmatrix} \psi_{am} \\ \psi_{bm} \\ \psi_{cm} \end{bmatrix} \quad (2)$$

Assumindo um estator simétrico e equilibrado onde a indutância própria é  $L_s$  e a mútua é  $M_s$ , e negligenciando a variação da indutância com a posição do rotor ( $L_m = 0$ ), a matriz de indutância  $\mathbf{L}_{abc}$  é constante:

$$\mathbf{L}_{abc} = \begin{bmatrix} L_s & M_s & M_s \\ M_s & L_s & M_s \\ M_s & M_s & L_s \end{bmatrix} \quad (3)$$

Para simplificar a análise e o controle, aplica-se a Transformada de Park para converter as variáveis do referencial trifásico (abc) para o referencial síncrono girante (dq0). A transformação é definida por  $\mathbf{x}_{dq0} = \mathbf{T}\mathbf{x}_{abc}$ , onde  $\mathbf{T}$  é a matriz de transformação.

Substituindo  $\mathbf{x}_{abc} = \mathbf{T}^{-1}\mathbf{x}_{dq0}$  na equação de tensão (1):

$$\mathbf{T}^{-1}\mathbf{v}_{dq0} = \mathbf{R}\mathbf{T}^{-1}\mathbf{i}_{dq0} + \mathbf{L}_{abc} \frac{d}{dt}(\mathbf{T}^{-1}\mathbf{i}_{dq0}) + \mathbf{e}_{abc} \quad (4)$$

Multiplicando ambos os lados por  $\mathbf{T}$ :

$$\mathbf{v}_{dq0} = \mathbf{R}\mathbf{i}_{dq0} + \mathbf{T}\mathbf{L}_{abc} \frac{d}{dt}(\mathbf{T}^{-1}\mathbf{i}_{dq0}) + \mathbf{T}\mathbf{e}_{abc} \quad (5)$$

Expandido a derivada do produto  $\frac{d}{dt}(\mathbf{T}^{-1}\mathbf{i}_{dq0}) = \mathbf{T}^{-1}\frac{d\mathbf{i}_{dq0}}{dt} + \frac{d\mathbf{T}^{-1}}{dt}\mathbf{i}_{dq0}$ :

$$\mathbf{v}_{dq0} = \mathbf{R}\mathbf{i}_{dq0} + \mathbf{T}\mathbf{L}_{abc}\mathbf{T}^{-1}\frac{d\mathbf{i}_{dq0}}{dt} + \mathbf{T}\mathbf{L}_{abc}\frac{d\mathbf{T}^{-1}}{dt}\mathbf{i}_{dq0} + \mathbf{e}_{dq0} \quad (6)$$

Substituindo  $\mathbf{v}_{rot}$  na equação de estado e expandindo para os componentes escalares  $d$  e  $q$  (assumindo  $L_{dq0}$  diagonal), obtemos a forma matricial explícita:

$$\frac{d\mathbf{i}_{dq0}}{dt} = \mathbf{A}\mathbf{i}_{dq0} + \mathbf{B}(\mathbf{v}_{dq0} - \mathbf{e}_{dq0}) \quad (7)$$

onde as matrizes de estado **A** e de entrada **B** são dadas por:

$$\mathbf{A} = \begin{bmatrix} -\frac{R_s}{L_d} & \omega_e \frac{L_q}{L_d} \\ -\omega_e \frac{L_d}{L_q} & -\frac{R_s}{L_q} \end{bmatrix}, \quad \mathbf{B} = \begin{bmatrix} \frac{1}{L_d} & 0 \\ 0 & \frac{1}{L_q} \end{bmatrix} \quad (8)$$

Isolando as derivadas para cada componente:

$$\frac{dI_d}{dt} = \frac{1}{L_d}(V_d - R_s I_d + \omega_e L_q I_q - e_d) \quad (9)$$

$$\frac{dI_q}{dt} = \frac{1}{L_q}(V_q - R_s I_q - \omega_e L_d I_d - e_q) \quad (10)$$

Para o motor BLDC, a força contra-eletromotriz no referencial dq ( $e_{dq0}$ ) não é constante, mas sim dependente da posição do rotor devido à distribuição trapezoidal do fluxo. As componentes  $e_d$  e  $e_q$  são obtidas pela transformação direta das forças contra-eletromotrices de fase  $e_a, e_b, e_c$ :

$$e_d = \frac{2}{3}[e_a \cos(\theta_e) + e_b \cos(\theta_e - \frac{2\pi}{3}) + e_c \cos(\theta_e + \frac{2\pi}{3})] \quad (11)$$

$$e_q = \frac{2}{3}[-e_a \sin(\theta_e) - e_b \sin(\theta_e - \frac{2\pi}{3}) - e_c \sin(\theta_e + \frac{2\pi}{3})] \quad (12)$$

onde  $e_a, e_b, e_c$  são funções trapezoidais da posição do rotor. O termo  $e_q$  apresenta ondações características (harmônicos de ordem  $6k$ ) em vez de ser um valor DC puro como no PMSM senoidal.

O torque eletromagnético é dado por:

$$T_e = \frac{3}{2}P(\lambda_m I_q + (L_d - L_q)I_d I_q) \quad (13)$$

A dinâmica mecânica é descrita por:

$$J \frac{d\omega_m}{dt} = T_e - T_L - B\omega_m - T_c \quad (14)$$

onde  $J$  é o momento de inércia,  $\omega_m$  é a velocidade mecânica,  $T_L$  é o torque de carga,  $B$  é o coeficiente de atrito viscoso, e  $T_c$  é o torque de atrito de Coulomb.

#### B. Modelo do Inversor

O Inversor de Fonte de Tensão (VSI) trifásico é modelado idealmente, assumindo que as tensões de referência geradas pelo controlador são aplicadas com precisão aos terminais do motor, limitadas apenas pela tensão do barramento CC  $V_{bus}$ . Os limites da Modulação por Largura de Pulso Vetorial Espacial (SVPWM) são considerados saturando a magnitude do vetor de tensão para  $V_{bus}/\sqrt{3}$ .

### III. ESTRATÉGIA DE CONTROLE

A estratégia FOC é implementada com uma estrutura de controle em cascata.

#### A. Malha de Controle de Corrente

Dois controladores PI internos regulam as correntes  $I_d$  e  $I_q$ . A referência de  $I_d$  é definida como zero ( $I_d^* = 0$ ) para maximizar o torque por ampère para o modelo SPMSM. A referência de  $I_q$  é fornecida pela malha externa de velocidade. Termos de desacoplamento são calculados para compensar os efeitos de acoplamento cruzado entre os eixos d e q mostrados em (??) e (??).

#### B. Malha de Controle de Velocidade

Um controlador PI externo regula a velocidade do motor. O erro entre a velocidade de referência  $\omega_{ref}$  e a velocidade medida  $\omega_m$  aciona o controlador PI para gerar a corrente de torque de referência  $I_q^*$ . A saída do controlador de velocidade é saturada para limitar a corrente máxima e proteger o motor e o inversor.

## IV. RESULTADOS DA SIMULAÇÃO

A simulação foi realizada utilizando Python. Os parâmetros do motor utilizados são:  $P = 21$ ,  $R_s = 4.485\Omega$ ,  $L_d = L_q = 54.8$  mH,  $\lambda_m = 0.201$  Wb,  $J = 0.1444$  kg·m<sup>2</sup>,  $B = 0.0057$  Nms/rad.

O perfil de simulação consiste em:

- $t = 0.0s$ : Início em 40 RPM.
- $t = 0.2s$ : Degrau de torque de carga de 20 Nm aplicado.
- $t = 0.4s$ : Degrau de referência de velocidade para 80 RPM.
- $t = 0.6s$ : Degrau de referência de velocidade de volta para 40 RPM.
- $t = 0.8s$ : Torque de carga removido.

A Fig. 1 mostra a resposta do sistema.

O controlador de velocidade rastreia a referência de RPM com precisão e mínimo sobressinal. Quando o torque de carga é aplicado em  $t = 0.2s$ , observa-se uma pequena queda de velocidade, que é rapidamente rejeitada pelo controlador à medida que  $I_q$  aumenta para gerar o torque eletromagnético necessário. A corrente  $I_d$  é mantida em zero, garantindo uma operação eficiente.

## V. CONCLUSÃO

Uma simulação completa de um acionamento PMSM usando FOC foi apresentada. A implementação modular em Python permite testes fáceis de diferentes parâmetros de controle e características do motor. Os resultados confirmam a robustez do esquema FOC em lidar com distúrbios de carga e rastrear referências de velocidade.

## APPENDIX A CÓDIGO DA SIMULAÇÃO

Os códigos fonte da simulação desenvolvida em Python são apresentados a seguir.

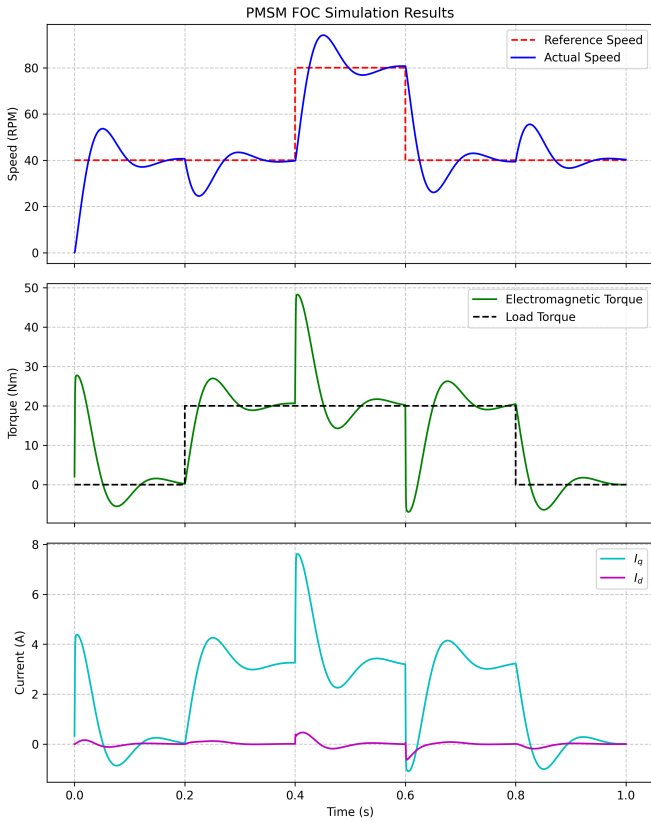


Fig. 1. Resultados da simulação mostrando Velocidade, Torque e Correntes ( $I_d$ ,  $I_q$ ).

#### A. *PMSMMotor.py*

```

# MOTOR PHYSICS MODEL (The "Plant")
#
-----
```

---

```

# Calculate Electrical Variables
We = self.Npp * self.Wr          # Electrical Speed
self.theta_e = self.Npp * self.theta
# Wrap theta_e to 0-2pi
self.theta_e = self.theta_e % (2 * math.pi)

# --- Park Transform (Vabc -> Vdq) ---
cos_t = math.cos(self.theta_e)
sin_t = math.sin(self.theta_e)
cos_t_m = math.cos(self.theta_e - 2*math.pi / 3)
sin_t_m = math.sin(self.theta_e - 2*math.pi / 3)
cos_t_p = math.cos(self.theta_e + 2*math.pi / 3)
sin_t_p = math.sin(self.theta_e + 2*math.pi / 3)

Vd_ref = (2.0/3.0) * (Va * cos_t + Vb * cos_t_m + Vc * cos_t_p)
Vq_ref = (2.0/3.0) * (-Va * sin_t - Vb * sin_t_m - Vc * sin_t_p)

# --- Calculate Id/Iq from Measured Currents (Ia, Ib, Ic) ---
# Clarke
I_alpha = Ia
I_beta = (Ia + 2.0*Ib) / math.sqrt(3.0)

# Park
Id_meas = I_alpha * cos_t + I_beta * sin_t
Iq_meas = -I_alpha * sin_t + I_beta * cos_t

# Constants that depend on speed (We)
g11 = 1 - (self.Ts * (self.Rs / self.Ld))
g12 = (We * self.Lq * self.Ts) / self.Ld
g21 = -We * self.Ld * self.Ts / self.Lq
g22 = 1 - self.Rs * self.Ts / self.Lq
h11 = self.Ts / self.Ld
h22 = self.Ts / self.Lq
i2 = -We * self.Lambda_m * self.Ts / self.Lq

# Calculate next current states based on Applied Voltages and MEASURED currents
Id_next = g11 * Id_meas + g12 * Iq_meas + h11 * Vd_ref
Iq_next = g21 * Id_meas + g22 * Iq_meas + h22 * Vq_ref + i2

# Torque Calculation
Te = 1.5 * self.Npp * Iq_next * (self.Lambda_m + (self.Ld - self.Lq) * Id_next)

# Mechanical Dynamics (Euler Integration)
# Handle Coulomb friction direction
Tc_dir = self.Tc if self.Wr > 0 else (-self.Tc if self.Wr < 0 else 0)

accel = (Te - Tload - (self.Bn * self.Wr) - Tc_dir) / self.J
self.Wr += accel * self.Ts

# Position Integration
self.theta += self.Wr * self.Ts
self.theta = self.theta % (2*math.pi) # Wrap mechanical angle

```

```

52     # Save for sensing
53     self.Id = Id_next
54     self.Iq = Iq_next
55
56     return Te
57
58

```

### B. FOCController.py

```

1 import math
2
3 class FOCController:
4     def __init__(self, Ts, Imax=8.0):
5         self.Ts = Ts
6         self.Imax = Imax
7
8         # --- Controller Parameters ---
9         self.Kps = 1          # Speed P
10        self.Kis = 55.0        # Speed I
11        self.KpId = 119.0      # Id P
12        self.KiId = 4015.0     # Id I
13        self.KpIq = 119.0      # Iq P
14        self.KiIq = 4015.0     # Iq I
15
16         # --- Integrator States for PI Controllers
17         # ---
18         self.Ui_s = 0.0
19         self.Ui_Id = 0.0
20         self.Ui_Iq = 0.0
21
22     def control_step(self, RPMref, Wr, Ia, Ib, Ic,
23                     theta_e, Vbus):
24
25         # -----
26
27         # FIELD ORIENTED CONTROL (FOC)
28
29         # -----
30
31         # --- Clarke Transform (abc -> alpha, beta)
32         # ---
33         # I_alpha = Ia
34         # I_beta = (1/sqrt(3)) * (Ia + 2*Ib)    <-- Standard Clarke
35         # Or: I_beta = (Ia + 2*Ib) / sqrt(3)
36
37         I_alpha = Ia
38         I_beta = (Ia + 2.0*Ib) / math.sqrt(3.0)
39
40         # --- Park Transform (alpha, beta -> dq) ---
41         cos_t = math.cos(theta_e)
42         sin_t = math.sin(theta_e)
43
44         Id = I_alpha * cos_t + I_beta * sin_t
45         Iq = -I_alpha * sin_t + I_beta * cos_t
46
47         # --- Speed Controller (Outer Loop) ---
48         error_speed = (RPMref * 2 * math.pi / 60.0)
49             - Wr
50
51         # PI Calc
52         Up_s = self.Kps * error_speed
53         # Integral with Anti-windup clamping (Output limited to Imax)
54         Ui_s_next = self.Ui_s + (self.Kis * self.Ts
55             * error_speed)
56
57         Iq_ref_unlimited = Up_s + Ui_s_next
58
59         # Saturation / Clamp
60         Iq_ref = max(-self.Imax, min(self.Imax,
61             Iq_ref_unlimited))
62
63

```

```

# Back-calculation / Anti-windup decision
if Iq_ref == Iq_ref_unlimited:
    self.Ui_s = Ui_s_next
else:
    # If saturated, do not update integral (simple anti-windup)
    pass

Id_ref = 0.0 # MTPA would go here, 0 for surface PMSM

# --- Current Controllers (Inner Loops) ---
# Iq Loop
err_Iq = Iq_ref - Iq
Up_Iq = self.KpIq * err_Iq
Ui_Iq_next = self.Ui_Iq + (self.KiIq * self.Ts * err_Iq)
Vq_ref = Up_Iq + Ui_Iq_next # + Decoupling (omitted as it was 0)
self.Ui_Iq = Ui_Iq_next # Simplified update

# Id Loop
err_Id = Id_ref - Id
Up_Id = self.KpId * err_Id
Ui_Id_next = self.Ui_Id + (self.KiId * self.Ts * err_Id)
Vd_ref = Up_Id + Ui_Id_next # - Decoupling (omitted as it was 0)
self.Ui_Id = Ui_Id_next

#
-----#
# INVERSE PARK & SVPWM
# -----
cos_t = math.cos(theta_e)
sin_t = math.sin(theta_e)

# Inverse Park
Va_ref = cos_t * Vd_ref - sin_t * Vq_ref
Vb_ref = math.cos(theta_e - 2*math.pi/3) *
    Vd_ref - math.sin(theta_e - 2*math.pi/3) *
    Vq_ref
Vc_ref = math.cos(theta_e + 2*math.pi/3) *
    Vd_ref - math.sin(theta_e + 2*math.pi/3) *
    Vq_ref

# SVPWM Min-Max Injection (from C code logic)
# Note: In the original simulation, this was calculated but not explicitly used for Vd/Vq modification
# except for the Vbus limitation below.

# Voltage Saturation based on Vbus (Limit circle)
V_mag = math.sqrt(Vd_ref**2 + Vq_ref**2)
max_V = Vbus / math.sqrt(3) # Max phase voltage with SVPWM

if V_mag > max_V:
    ratio = max_V / V_mag
    Vd_ref *= ratio
    Vq_ref *= ratio

return Va_ref, Vb_ref, Vc_ref

```

### C. Inverter.py

```

1 import math
2
3 class Inverter:
4     def __init__(self):
5         pass
6
7     def step(self, Va_ref, Vb_ref, Vc_ref, Vbus):
8         #
9         # INVERTER MODEL
10        #
11        #
12
13        # Simple voltage source inverter model.
14        # Limits the output phase voltages based on
15        # Vbus.
16        # In a real inverter, this would involve PWM
17        # duty cycles.
18        # Here we assume average voltage injection
19        # with saturation.
20
21        # Max phase voltage (linear modulation limit
22        # for SVPWM)
23        max_V = Vbus / math.sqrt(3)
24
25        # Calculate magnitude of the requested
26        # voltage vector
27        # (Assuming balanced 3-phase, we can
28        # estimate magnitude)
29        # A more robust check is to convert back to
30        # alpha-beta or dq to check magnitude,
31        # but here we can check individual phase
32        # limits or the vector sum.
33
34        # Let's use the same logic as before: limit
35        # the vector magnitude.
36        # To do this without dq, we can look at the
37        # peak.
38        # Or simpler: just clamp individual phases
39        # to +/- Vbus/2 (DC link midpoint ref)
40        # BUT, the previous logic used a circular
41        # limit on Vdq.
42
43        # Let's stick to the previous logic's intent
44        :
45        # If we receive Vabc, we assume they are
46        # already appropriate.
47        # However, we should enforce the physical
48        # limit of the bus.
49
50
51        # For this simulation, let's assume the
52        # controller handles the circular limit (
53        # SVPWM),
54        # and the inverter just hard-clamps if
55        # something goes wrong, or models the PWM
56        # effect.
57
58        # Since the controller was doing the
59        # limiting, we can just pass through
60        # or add a hard clamp for safety.
61
62        # Let's add a simple clamp to +/- Vbus/2 for
63        # each phase relative to neutral point
64        # (assuming ideal DC link utilization).
65
66        limit = Vbus / 2.0
67
68        Va = max(-limit, min(limit, Va_ref))
69        Vb = max(-limit, min(limit, Vb_ref))
70        Vc = max(-limit, min(limit, Vc_ref))
71
72        return Va, Vb, Vc

```

#### D. Sensors.py

```

1 import math
2
3 class Sensors:
4     def __init__(self):
5         pass
6
7     def measure(self, motor, RPMref):
8         #
9         #
10
11
12        # SENSOR MODEL
13        #
14
15
16        # 1. Measure Currents (Ia, Ib, Ic)
17        # Calculate Ia, Ib, Ic from motor states (Id
18        # , Iq, theta_e)
19
20        # Inverse Park Transform (dq -> alpha, beta)
21        cos_t = math.cos(motor.theta_e)
22        sin_t = math.sin(motor.theta_e)
23
24        I_alpha = motor.Id * cos_t - motor.Iq *
25        sin_t
26        I_beta = motor.Id * sin_t + motor.Iq *
27        cos_t
28
29        # Inverse Clarke (alpha, beta -> abc)
30        Ia = I_alpha
31        Ib = -0.5 * I_alpha + (math.sqrt(3)/2.0) *
32        I_beta
33        Ic = -0.5 * I_alpha - (math.sqrt(3)/2.0) *
34        I_beta
35
36        # 2. Measure Position (theta_e)
37        # Assuming perfect position sensor for FOC
38        theta_e = motor.theta_e
39
40        # 3. Measure Speed
41        # Reverting to actual speed measurement to
42        # fix feedback loop
43        Wr_meas = motor.Wr
44
45        return Ia, Ib, Ic, theta_e, Wr_meas

```

#### E. Simulate.py

```

1 import numpy as np
2 import matplotlib.pyplot as plt
3 import math
4 from PMSMMotor import PMSMMotor
5 from BLDCMotor import BLDCMotor
6 from FOCCController import FOCCController
7 from Inverter import Inverter
8 from Sensors import Sensors
9
10 # --- Main Execution ---
11 if __name__ == "__main__":
12     # Simulation Parameters
13     Ts = 1e-4
14     t_end = 1.0
15
16     # Initialize Modules
17     # motor = PMSMMotor(Ts)
18     motor = BLDCMotor(Ts)
19     controller = FOCCController(Ts)
20     inverter = Inverter()
21     sensors = Sensors()
22
23     # Time settings

```

```

24 num_steps = int(t_end / Ts)
25
26 # Storage for plotting
27 history = {
28     'time': np.zeros(num_steps),
29     'rpm_ref': np.zeros(num_steps),
30     'rpm_act': np.zeros(num_steps),
31     'Iq': np.zeros(num_steps),
32     'Id': np.zeros(num_steps),
33     'Te': np.zeros(num_steps),
34     'Tload': np.zeros(num_steps),
35     'Vbus': np.zeros(num_steps)
36 }
37
38 print("Starting Simulation...")
39
40 t = 0.0
41 for k in range(num_steps):
42     # Update time
43     t = k * Ts
44     history['time'][k] = t
45
46     #
47     # 1. INPUTS & PROFILE
48     #
49
50     RPMref = 40.0
51     Tload = 0.0
52
53     if t > 0.2:
54         Tload = 20.0
55     if t > 0.4:
56         RPMref = 80.0
57     if t > 0.6:
58         RPMref = 40.0
59     if t > 0.8:
60         Tload = 0.0
61
62     V_bus = 311.0
63
64     #
65     # 2. SENSORS STEP
66     #
67
68     Ia, Ib, Ic, theta_e, Wr_meas = sensors.
69     measure(motor, RPMref)
70
71     #
72     # 3. CONTROL STEP
73     #
74
75     Va_ref, Vb_ref, Vc_ref = controller.
76     control_step(
77         RPMref, Wr_meas, Ia, Ib, Ic, theta_e,
78         V_bus
79     )
80
81     #
82
83     # 4. INVERTER STEP
84
85
86     Va, Vb, Vc = inverter.step(Va_ref, Vb_ref,
87         Vc_ref, V_bus)
88
89     #
90     # -----
91     # 5. MOTOR PHYSICS STEP
92     #
93
94     Te = motor.physics_step(Va, Vb, Vc, Tload,
95         Ia, Ib, Ic)
96
97     #
98     # -----
99     # 6. DATA LOGGING
100    #
101
102    history['rpm_ref'][k] = RPMref
103    history['rpm_act'][k] = motor.Wr * 60 / (2 *
104        math.pi)
105    history['Iq'][k] = motor.Iq
106    history['Id'][k] = motor.Id
107    history['Te'][k] = Te
108    history['Tload'][k] = Tload
109    history['Vbus'][k] = V_bus
110
111    data = history
112
113    # --- Plotting ---
114    fig, (ax1, ax2, ax3) = plt.subplots(3, 1,
115        figsize=(10, 12), sharex=True)
116
117    # Plot 1: Speed
118    ax1.plot(data['time'], data['rpm_ref'], 'r--',
119        label='RPM Ref')
120    ax1.plot(data['time'], data['rpm_act'], 'b-',
121        label='RPM Actual')
122    ax1.set_ylabel('Speed (RPM)')
123    ax1.set_title('BLDC FOC Simulation')
124    ax1.legend()
125    ax1.grid(True)
126
127    # Plot 2: Torque
128    ax2.plot(data['time'], data['Te'], 'g-',
129        label='Electromagnetic Torque')
130    ax2.plot(data['time'], data['Tload'], 'k--',
131        label='Load Torque')
132    ax2.set_ylabel('Torque (Nm)')
133    ax2.legend()
134    ax2.grid(True)
135
136    # Plot 3: Currents and Voltage Input
137    ax3.plot(data['time'], data['Iq'], 'c-',
138        label='Iq (A)')
139    ax3.plot(data['time'], data['Id'], 'm-',
140        label='Id (A)')
141    ax3.set_ylabel('Current (A)')
142    ax3.set_xlabel('Time (s)')
143    ax3.legend()
144    ax3.grid(True)
145
146    plt.tight_layout()
147    plt.show()

```

## REFERENCES

- [1] F. Blaschke, "The principle of field orientation as applied to the new TRANSVECTOR closed-loop control system for rotating-field machines," Siemens Review, vol. 39, no. 5, pp. 217-220, 1972.

- [2] MathWorks, "BLDC - Three-winding brushless direct current motor with trapezoidal flux distribution," [Online]. Available: <https://www.mathworks.com/help/sps/ref/bldc.html>.